

- [3] Колесников Н. В., Лебедев А. А., Мальханов С. Е. Сечение фотоионизации положительно заряженной дивакансии в кремнии, определенное из фотоемкостных измерений. — ФТП, 1979, т. 13, в. 4, с. 812—814.
- [4] Буренков А. Ф., Комаров Ф. Н., Кумахов М. А., Темкин М. Н. Пространственное распределение энергии, выделенное в каскаде атомных столкновений в твердых телах. М., 1985. 248 с.
- [5] Chu N. K., Kastl R. H., Level R. F., Mader S., Masters B. T. — Phys. Rev. B, 1977, v. 16, N 9, p. 3851—3859.
- [6] Технология ионного легирования / Под ред. С. Намбы. М., 1974. 160 с.

Получено 16.06.1987
Принято к печати 8.09.1987

ФТП, том 22, вып. 3, 1988

ИССЛЕДОВАНИЕ ВЛИЯНИЯ ГЛУБОКИХ УРОВНЕЙ НА МИКРОПЛАЗМЕННЫЙ ПРОБОЙ $p-n$ -ПЕРЕХОДОВ

Выжигин Ю. В., Грессеров Б. Н., Соболев Н. А.

При исследовании кремниевых структур с $p-n$ -переходами наблюдались скачки на температурной зависимости напряжения пробоя [1—4], что связывалось с перезарядкой глубоких уровней (ГУ) в каналах отдельных микроплазм (МП). Поскольку в полупроводниках присутствуют ГУ различной природы и, кроме того, МП нельзя считать полностью независимыми, исследование связи перезарядки ГУ в канале МП с пробоем МП затруднено. Цель настоящей работы — исследование влияния перезарядки ГУ в области объемного заряда (ООЗ) канала МП на температурные зависимости напряжения появления первого импульса МП U_n и напряжения полного включения МП $U_{вкл}$, т. е. напряжения, соответствующего концу участка нестабильности МП по напряжению, а также определение параметров перезаряжающихся ГУ.

Исследовались $p-n$ -переходы, изготовленные из $n\text{-Si}$ с удельным сопротивлением 150—250 Ом·см, на постоянном токе в диапазоне температур 100—300 К (точность поддержания 0.1 К), прикладываемое напряжение изменялось от 0.2 до 4 кВ (точность поддержания ± 0.5 В [5]).

Типичная температурная зависимость U_n показана на рис. 1 (кривая I): два скачка соответствуют перезарядке двух различных ГУ. Участки 5, 3, 1 соответствуют ситуациям, когда оба ГУ в ООЗ канала МП ионизованы, ионизован только более мелкий ГУ, оба ГУ заполнены. Понижение U_n с увеличением температуры на участках 2 и 4 связано с ионизацией соответственно первого и второго ГУ в ООЗ канала МП. При этом U_n зависит как от свойств собственно ГУ, так и от времени, прошедшего после подачи обратного смещения. На рис. 1 приведены зависимости U_n от температуры для двух временных интервалов между моментом подачи обратного напряжения и моментом появления первого импульса МП $t_{\text{имп}}$. Зависимость U_n от плотности объемного заряда в ООЗ определяется формулой, аналогичной приведенной в [6],

$$N = N_x + M - m(t) = \frac{\epsilon \epsilon_0 b^2 [1 + \beta(T - 300)]}{2q U_n \ln^2 \{2a U_n b^{-1} [1 + \beta(T - 300)]^{-1}\}}, \quad (1)$$

где N_x и M — концентрации соответственно ионизованных мелких уровней и ГУ, $m(t)$ — концентрация ГУ, заполненных электронами, T — абсолютная температура, q — заряд электрона, $a = 7.03 \cdot 10^6 \text{ см}^{-1}$, $b = 1.231 \cdot 10^6 \text{ В/см}$, $\beta = U_n^{-1}|_{T=300 \text{ К}} (dU_n/dT)$ — температурный коэффициент напряжения пробоя U_n . На участках 1, 3 и 5 имеем $N_x = N_1$, $N_3 = N_x + M_1$, $N_5 = N_x + M_1 + M_2$. Разница между концентрациями центров на соседних линейных участках, вычисленная с помощью (1), соответствует концентрации ГУ, перезарядка которых

и приводит к возникновению скачка. Для образца, результаты измерения на котором представлены на рис. 1, концентрации составили $M_1=5.3 \cdot 10^{12}$ и $M_2=4.5 \cdot 10^{12} \text{ см}^{-3}$.

При приложении к $p-n$ -переходу обратного напряжения в области температур, соответствующих участку 4, степень заполнения второго ГУ определяется известным выражением [7]

$$m_2(t) = M_2 \exp(-e_n t), \quad (2)$$

где $e_n = \sigma_n b_n T^2 \exp(-\Delta E/kT)$ — скорость эмиссии электрона с ГУ, σ_n — сечение захвата электрона на ГУ, $b_n=6.6 \cdot 10^{21} \text{ см}^{-2} \cdot \text{К}^{-2} \cdot \text{с}^{-1}$, ΔE — глубина за-

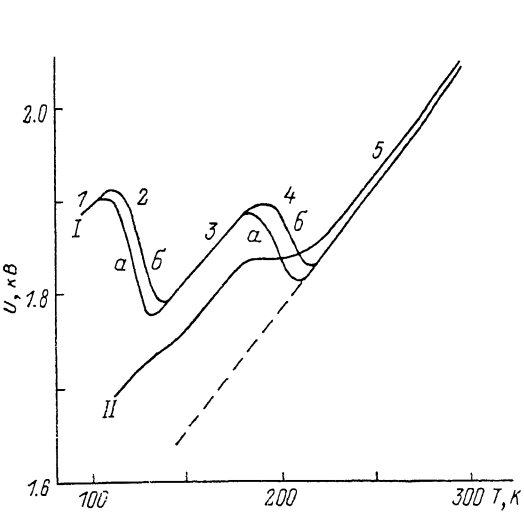


Рис. 1. Зависимость напряжения появления первого импульса микроплазмы $U_{\text{нп}}$ (I) и напряжения полного включения $U_{\text{вкл}}$ (II) от температуры.

$t_{\text{плзм}}, \text{с}: a = 25, b = 10.$

легания ГУ (предполагается, что σ_n не зависит от T). Тогда время до появления МП импульса в зависимости от приложенного напряжения можно получить из (1) и (2):

$$F(U_{\text{нп}}, T) = \exp(-e_n t) = 1 + \frac{N_m}{M} - \frac{\varepsilon \varepsilon_0 b^2 [1 + \beta(T - 300)]}{2 M q U_{\text{нп}} \ln^2(2 a U_{\text{нп}} b^{-1} [1 + \beta(T - 300)]^{-1})}. \quad (3)$$

При фиксированной T в полулогарифмическом масштабе зависимость (3) является прямой линией, тангенс угла наклона которой равен e_n . Семейство зависимостей (3), измеренных при разных T , позволяет получить зависимость e_n от T , которая является фундаментальной характеристикой ГУ, позволяющей рассчитать его ΔE и σ_n . На рис. 2 приведены температурные зависимости e_n с обоих ГУ для того же образца, что и на рис. 1. Считая, что σ не зависит от T , получим $\Delta E_1=0.19 \text{ эВ}$ и $\sigma_{n1}=1.4 \cdot 10^{-20} \text{ см}^2$, $\Delta E_2=0.43 \text{ эВ}$ и $\sigma_{n2}=6.7 \cdot 10^{-18} \text{ см}^2$. На этом же рисунке приведены аналогичные зависимости для дефектов термообработки (ДТО) [7, 8], которые были обнаружены в исследуемых образцах методом емкостной спектроскопии; их концентрация составляла $(0.9-4.5) \times 10^{12} \text{ см}^{-3}$. Если σ_n для ДТО также не зависит от T , то $\Delta E_3=0.26 \text{ эВ}$, $\sigma_{n3}=9.3 \cdot 10^{-18} \text{ см}^2$ и $\Delta E_4=0.54 \text{ эВ}$, $\sigma_{n4}=2.5 \cdot 10^{-15} \text{ см}^2$. Отметим, что емкостная спектроскопия позволяла определить среднюю по площади концентрацию ГУ, и, несмотря на то что в канале МП концентрация ГУ могла быть на несколько порядков больше средней, вклад ГУ из канала МП в данные емкостной спектроскопии мал, поскольку площадь МП обычно на несколько порядков меньше площади всей $p-n$ -структурь. Несовпадение температурных зависимостей скоростей эмиссии может возникать, например, из-за того, что скорость эмиссии может зависеть от электрического поля: в случае измерения e_n в ка-

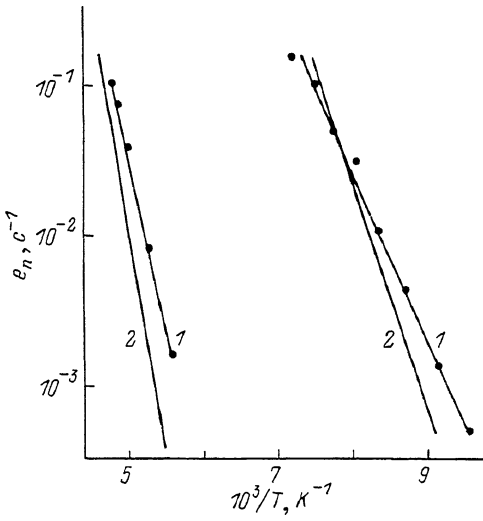


Рис. 2.

Зависимость скорости эмиссии электрона от обратной температуры: 1 — с уровней в канале МП, 2 — с уровнями ДТО.

нале МП максимальная напряженность электрического поля $E_{\max} \simeq 2 \cdot 10^5$ В/см, а при измерении e_n методом емкостной спектроскопии $E_{\max} = 2 \cdot 10^4$ В/см.

Перезарядка ГУ в ООЗ канала МП также приводит к немонотонной температурной зависимости $U_{\text{вкл}}$. На рис. 1 (кривая II) приведена типичная температурная зависимость $U_{\text{вкл}}$, причем протяженность участка нестабильности МП по напряжению при переходе от участка 5 к участку 3 увеличивается более чем на порядок (соответственно 10 и 100 В). В области напряжений, лежащей выше кривой II, после включения МП через нее течет постоянный ток, а степень заполнения ГУ определяется из решения кинетического уравнения [?] при учете не только процессов эмиссии, но и процессов захвата (рассматриваем ситуацию для участков 3—5 на рис. 1, т. е. перезарядку только одного ГУ). Предполагая, что $e_n, e_p, \sigma_n, \sigma_p, n, p$ и тепловые скорости v_n и v_p не меняются во времени, в стационарном состоянии получаем

$$m = \frac{M(\tau_n v_n n + e_p)}{\tau_n v_n n + \tau_p v_p p + e_n + e_p}, \quad (4)$$

где n и p — концентрации электронов и дырок в канале МП. В рассматриваемом нами стационарном случае $\dot{U}_{\text{вкл}}$ можно определить, используя (1). Из (4) видно, что с уменьшением температуры влияние процессов эмиссии носителей заряда с ГУ на $U_{\text{вкл}}$ ослабевает, а доминировать начинает процесс захвата носителей заряда на ГУ.

Рассмотрим предельные случаи. При e_n , много большей скорости захвата электронов и дырок (участок 5), $m=0$, т. е. ГУ полностью ионизован и не влияет на $U_{\text{вкл}}$. На участке 3 скорость эмиссии электрона с ГУ существенно меньше скорости захвата ($\sigma_n v_n n \sim 10^3$ с⁻¹). Полагая в первом приближении $v_n \approx v_p$ и $n \approx p$, получаем $m = M \frac{\sigma_n}{\sigma_n + \sigma_p}$, т. е. $U_{\text{вкл}}$ определяется отношением сечений захвата. В исследованных образцах для уровня E_2 $\sigma_n / \sigma_p = 0.50 \div 0.67$, что соответствует данным работы [8].

В области температур $T < 150$ К не наблюдается существенного отклонения от линейного хода $U_{\text{вкл}}$. Это может быть связано либо с таким соотношением сечений захвата для уровня E_1 , когда $\sigma_{p1} \gg \sigma_{n1}$, либо с тем, что захват на уровнях E_1 и E_2 не является независимым.

Таким образом, исследовано влияние перезарядки ГУ в ООЗ канала МП на температурные зависимости U_n и $U_{\text{вкл}}$, определены температурная зависимость скорости эмиссии носителей заряда с ГУ и соотношение сечений захвата электронов и дырок на ГУ, находящихся в канале МП.

Л и т е р а т у р а

- [1] Акимов П. В., Грехов И. В., Сережкин Ю. Н. Температурная зависимость напряжения лавинного пробоя диодов, изготовленных из кремния с высоким содержанием растворенного кислорода. — ФТП, 1975, т. 9, в. 4, с. 764—767.
- [2] Коршунов В. П., Марченко И. Г. Влияние электронного облучения при различных температурах на напряжение лавинного пробоя кремниевых $p-n$ -структур. — ФТП, 1982, т. 16, в. 4, с. 751—753.
- [3] Коршунов В. П., Марченко И. Г. Особенности изменения температурной зависимости дифференциального сопротивления в области лавинного пробоя облученных Si $p-n$ -переходов. — ФТП, 1983, т. 17, в. 12, с. 2201—2203.
- [4] Астрова Е. В., Волле В. М., Воронков В. Б., Козлов В. А., Лебедев А. А. Влияние глубоких уровней на пробивное напряжение диодов. — ФТП, 1986, т. 20, в. 11, с. 2122—2125.
- [5] Кондратьев Б. С., Соболев Н. А., Челноков В. Е. Температурная зависимость напряжения пробоя микроплазм в высоковольтных $p-n$ -структурах. — В кн.: Силовые полупроводниковые приборы. Таллин, 1986, с. 15—18.
- [6] Челноков В. Е., Евсеев Ю. А. Физические основы работы силовых полупроводниковых приборов. М., 1973. 280 с.
- [7] Берман Л. С., Лебедев А. А. Емкостная спектроскопия глубоких центров в полупроводниках. Л., 1981. 176 с.
- [8] Yau L. D., Sah C. T. — Sol. St. Electron., 1974, v. 17, N 2, p. 193—201.